

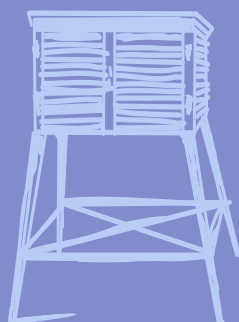
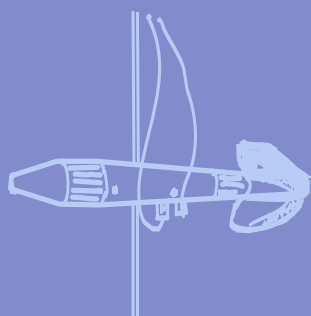
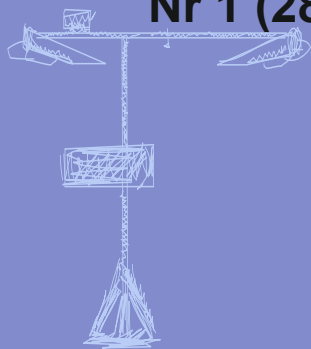
Nr 1 (281)

ISSN 1730-6124

# BIULETYN

PAŃSTWOWEJ SŁUŻBY  
HYDROLOGICZNO-  
METEOROLOGICZNEJ

STYCZEŃ 2025



INSTYTUT METEOROLOGII I GOSPODARKI WODNEJ  
PAŃSTWOWY INSTYTUT BADAWCZY



## Redakcja biuletynu:

Wojciech Pawelec  
Agnieszka Pietrzykowska  
Sławomir Wereski – redaktor naczelny

Pomiary i obserwacje, których wyniki zamieszczono w Biuletynie wykonywane są przez Państwową Służbę Hydrologiczno-Meteorologiczną IMGW-PIB.

Dane w Biuletynie (meteorologiczne i hydrologiczne) pochodzą z operacyjnej bazy danych i ich wartości mogą ulec zmianie po weryfikacji.



- Warszawa** Siedziba IMGW-PIB
- Gdynia** Siedziba biura terenowego
- CBPM** Centralne Biuro Prognoz Meteorologicznych
- CBPL-MBN** Centralne Biuro Prognoz Lotniczych - Meteorologiczne Biuro Nadzoru
- BMPM** Biuro Meteorologicznych Prognoz Morskich
- BPM** Biuro Prognoz Meteorologicznych
- CBHO** Centralne Biuro Hydrologii Operacyjnej
- BPH** Biuro Prognoz Hydrologicznych
- WPIOH** Wydział Prognoz i Opracowań Hydrologicznych
- CMPIB** Centrum Modelowania Powodziowego i Suszy
- Lotniskowa Stacja Meteorologiczna
- Stacja Hydrologiczno-Meteorologiczna
- Stacja Meteorologiczna
- Wysokogórskie Obserwatorium Meteorologiczne
- Stacja Badań Śniegu i Lawin
- Automatyyczna Stacja Synoptyczna
- Stacja Badawcza Parowania
- Stacja Aerologiczna

## SPIS TREŚCI

1.	Ogólna ocena sytuacji hydrologiczno-meteorologicznej w styczniu 2025 .....	4
2.	Warunki meteorologiczne .....	5
3.	Warunki hydrologiczne .....	17
4.	Odptyw rzeczny .....	24
5.	Jeziora.....	27

## TABELE

2.1.	Charakterystyki meteorologiczne w styczniu 2025 .....	14
3.1.	Najwyższe dobowe sumy opadu w województwach (20 mm i wyższe) .....	17
3.2.	Najwyższe dobowe przyrosty stanu wody (60 cm i wyższe).....	18
3.3.	Stacje hydrologiczne, na których w styczniu 2025 wystąpiły przekroczenia stanu alarmowego wywołane silnym wiatrem z kierunków północnych na Bałtyku.....	19
3.4.	Stacje hydrologiczne, na których stan wody w styczniu 2025 był niższy od dotychczas obserwowanych wartości (do roku 2023).....	20
4.1.	Odptyw w styczniu 2025 w stosunku do wartości charakterystycznych z wielolecia 1951-2020, w wybranych profilach wodowskazowych .....	25
5.1.	Morfometria i zlewnie jezior.....	27
5.2.	Stan i temperatura wody jezior w styczniu 2025.....	28

## RYSUNKI

2.1.	Mapa synoptyczna (1 I 2025, godz. 12 UTC) .....	5
2.2.	Mapa synoptyczna (4 I 2025, godz. 12 UTC) .....	6
2.3.	Mapa synoptyczna (9 I 2025, godz. 12 UTC) .....	7
2.4.	Mapa synoptyczna (17 I 2025, godz. 12 UTC) .....	8
2.5.	Mapa synoptyczna (27 I 2025, godz. 12 UTC) .....	9
2.6.	Średnia miesięczna temperatura powietrza w styczniu 2025 .....	12
2.7.	Odchylenie średniej miesięcznej temperatury powietrza w styczniu 2025, w stosunku do średniej 1991-2020 .....	12
2.8.	Miesięczna suma opadu atmosferycznego w styczniu 2025 .....	13
2.9.	Anomalia miesięcznej sumy opadu atmosferycznego w styczniu 2025, jako procent normy wieloletniej 1991-2020.....	13
2.10.	Średnie dobowe i ekstremalne temperatury powietrza oraz dobowe sumy opadu atmosferycznego w styczniu 2025 .....	15
3.1.	Wysokość opadów średnich [mm] i przebieg stanu wody [cm] dla wybranych zlewni w Polsce w styczniu 2025.....	21
3.2.	Hydrogramy stanu wody na Wiśle, Narwi i Bugu w styczniu 2025.....	22
3.3.	Hydrogramy stanu wody na Odrze, Nysie Kłodzkiej i Warcie w styczniu 2025 .....	23
4.1.	Krzywe sumowe odptywu Wisły w Tczewie i Odry w Gozdowicach .....	24
5.1.	Lokalizacja jezior bazowych i bilansowych sieci limnologicznej .....	27

## 1. **Ogólna ocena sytuacji hydrologiczno-meteorologicznej w styczniu 2025\***

W styczniu 2025 średnia obszarowa temperatura powietrza w Polsce wynosiła 2,0°C i była wyższa o 3,2°C od wieloletniej normy dla tego miesiąca. Według kwantylowej klasyfikacji warunków termicznych, biorąc pod uwagę średnią temperaturę dla Polski, miesiąc ten należy uznać za „anomalnie ciepły”. Styczeń pod względem termicznym na przeważającym obszarze kraju był znacznie powyżej normy (>2,0°C), tylko na krańcach północno-zachodnich był powyżej normy (od 0,5°C do 2,0°C). Największe odchylenie od średniej wieloletniej: 4,7°C odnotowano w Suwałkach, gdzie średnia temperatura miesięczna wyniosła 1,4°C. Najniższe odchylenie od normy, o 1,3°C, stwierdzono w Świnoujściu, gdzie temperatura średnia wyniosła 2,1°C. W styczniu najwyższa średnia temperatura (3,0°C) wystąpiła w Ustce i Helu, a najniższa (0,8°C) w Kielcach. Najwyższa maksymalna temperatura 16,1°C wystąpiła 28 I w Przemyślu, a najniższa minimalna 5 I na Kasprowym Wierchu: -15,2°C, a poza górami: -13,6°C w Nowym Sączu (również 5 I). Pod względem opadów styczeń na przeważającym obszarze Polski był w normie lub był poniżej normy opadowej. Styczeń był bardzo suchy częściowo w centrum i na południu Polski, a skrajnie suchy miejscami na Dolnym Śląsku i Opolszczyźnie, wilgotny był w pasie od Zielonej Góry po północno-zachodnie krańce woj. warmińsko-mazurskiego, bardzo wilgotny na Pomorzu, a na wschodnim Wybrzeżu był skrajnie wilgotny. Najwyższy opad w odniesieniu do normy miesięcznej: 189,5% normy zanotowano w Gdańsku-Świbnie, gdzie spadło 54,0 mm opadu. Najwyższą miesięczną sumę opadów zanotowano w Elblągu: 87,9 mm, a w górach 108,2 mm na Śnieżce. Najniższą miesięczną sumę opadów bezwzględną i w odniesieniu do normy (9,5 mm, 38,0% normy) odnotowano w Legnicy. Najwyższa dobową sumą opadów 25,1 mm wystąpiła 12 I na Kasprowym Wierchu, a poza górami 9 I w Ustce: 21,2 mm.

Sytuacja hydrologiczna w styczniu (podobnie jak w listopadzie i grudniu) była stabilna. Wyższe opady wystąpiły tylko okresowo, głównie na obszarze północnej i północno-zachodniej Polski. W pierwszej (chłodniejszej) połowie miesiąca na dużej części terytorium Polski utworzyła się pokrywa śnieżna, która w kolejnych dniach (głównie w II cieplejszej połowie miesiąca) topiła się, powodując zwykle nieduże podniesienia stanu wody, głównie w dorzeczu Wisły. Jedyne przekroczenia stanu alarmowego wystąpiły w dniach 10-13 I i zostały wywołane silnym wiatrem na Bałtyku, z kierunków północnych. Przekroczenia stanu ostrzegawczego odnotowano na 3 rzekach (3 stacjach) w dorzeczu Wisły i na 8 rzekach (9 stacjach) w dorzeczu Odry. Ostatniego dnia stycznia stan wody rzek głównych znajdował się najczęściej na granicy wody średniej i niskiej lub w strefach wody średniej (Odra) lub niskiej (Narew). Stan wody w dorzeczu Wisły był relatywnie niższy niż w dorzeczu Odry.

W styczniu wartości odpływu w przekrojach rzek dorzecza Wisły były wyraźnie niższe od normy, w dorzeczu Odry były na ogół niższe od normy, a w rzekach Przymorza (Rega i Słupia) przekraczały normę.

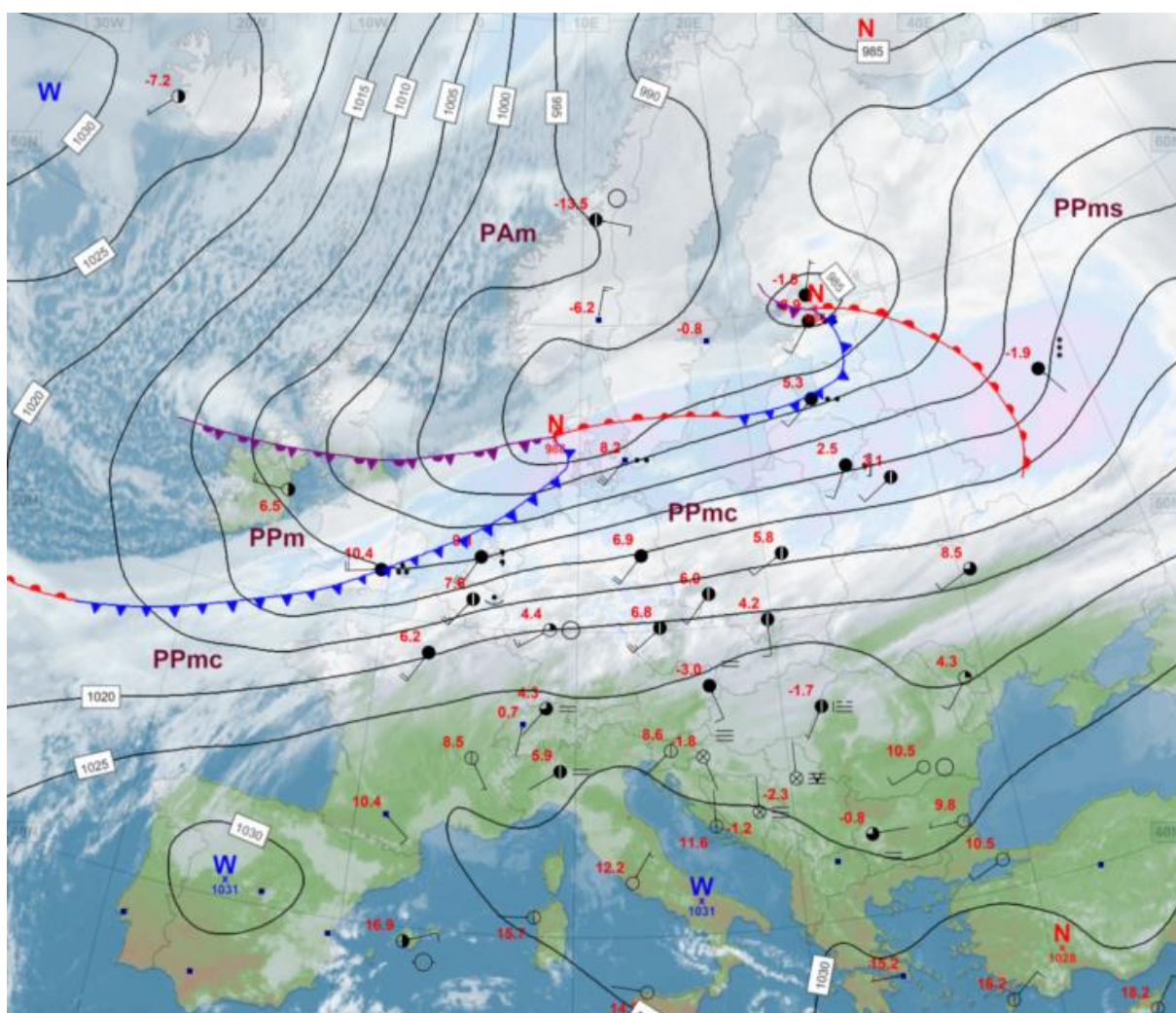
Średni stan wody w kontrolowanych jeziorach był wyższy od wartości z grudnia o 3 cm (w 9 jeziorach odnotowano wzrosty, a w dwóch spadki). Wody wszystkich kontrolowanych jezior wychładzały się, a średnia temperatura wody wyniosła: 2,8°C. Jeziora położone w centralnej i zachodniej Polsce oraz na Pomorzu były wyraźnie cieplejsze od mazurskich. Tylko na Jeziorze Sławskim odnotowano występowanie trwałej pokrywy lodowej i to bardzo nikłej (dwa dni: 22 I i 23 I, a grubość jej to odpowiednio 1 cm i 3 cm).

\* Podane wartości pochodzą ze stacji synoptycznych. Wszystkie odniesienia dotyczą normy wieloletniej z lat 1991-2020.



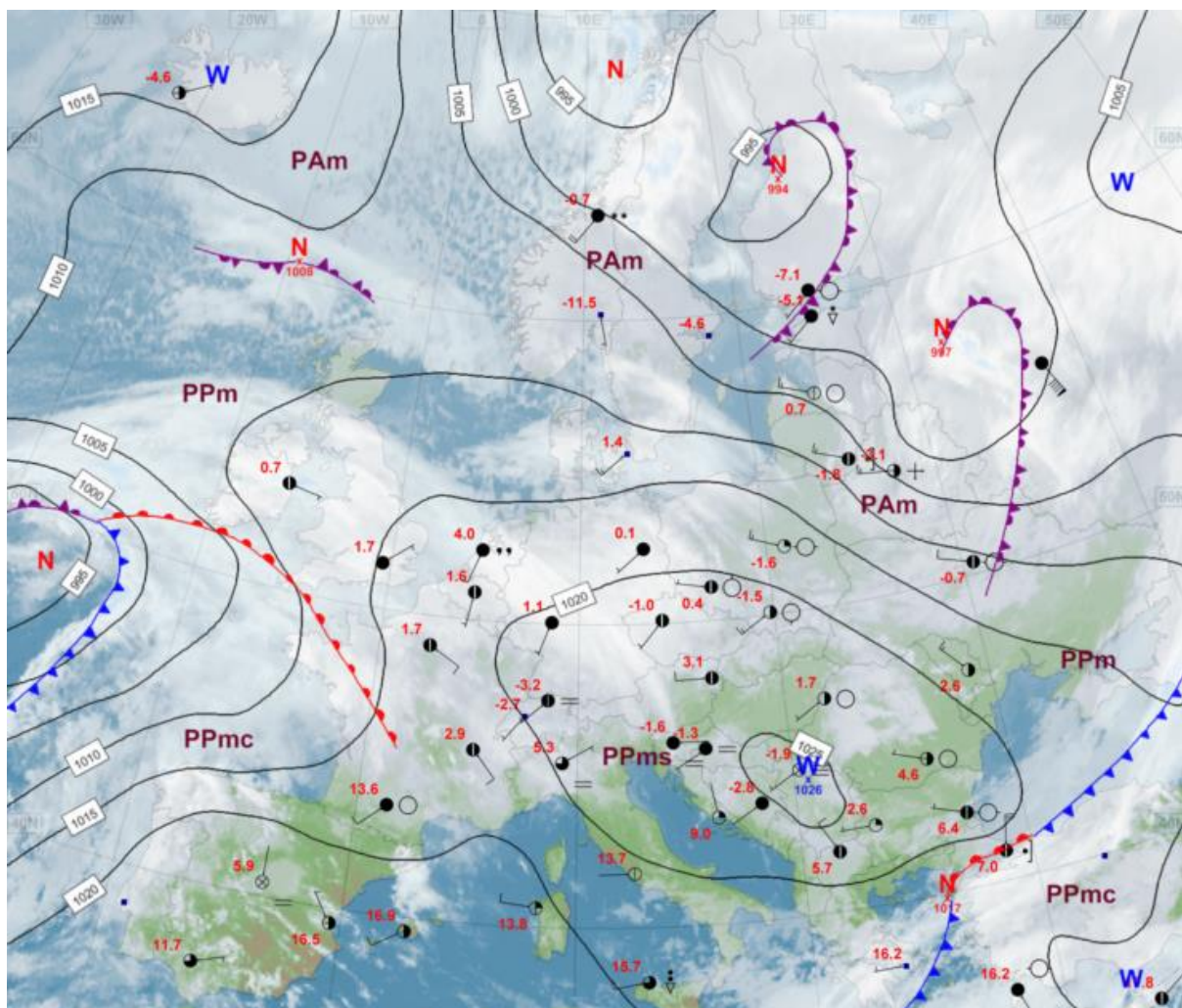
## 2. Warunki meteorologiczne

W dniach 1-3 I Polska była pod wpływem układów niskiego ciśnienia znad Europy Północnej oraz towarzyszących im układów frontów atmosferycznych. Napływało dość ciepłe powietrze polarno-morskie, po przejściu frontów chłodniejsze. Zachmurzenie było duże z większymi przejaśnieniami. Obserwowano opady deszczu i deszczu ze śniegiem, okresami o umiarkowanym natężeniu, a miejscami także śniegu. Lokalnie wystąpiły burze. Wiatr był na ogół umiarkowany i dość silny, okresami na Wybrzeżu silny i bardzo silny, porywisty, z kierunków zachodnich. Najsilniejsze porywy wiatru w tym okresie zanotowano: 48 m/s na Śnieżce (2 I), 33 m/s na Kasprowym Wierchu (2 I), 27 m/s w Ustce (3 I), 25 m/s w Łebie (1 I) i w Kołobrzegu (3 I).



Rys. 2.1. Mapa synoptyczna (1 I 2025, godz. 12 UTC)

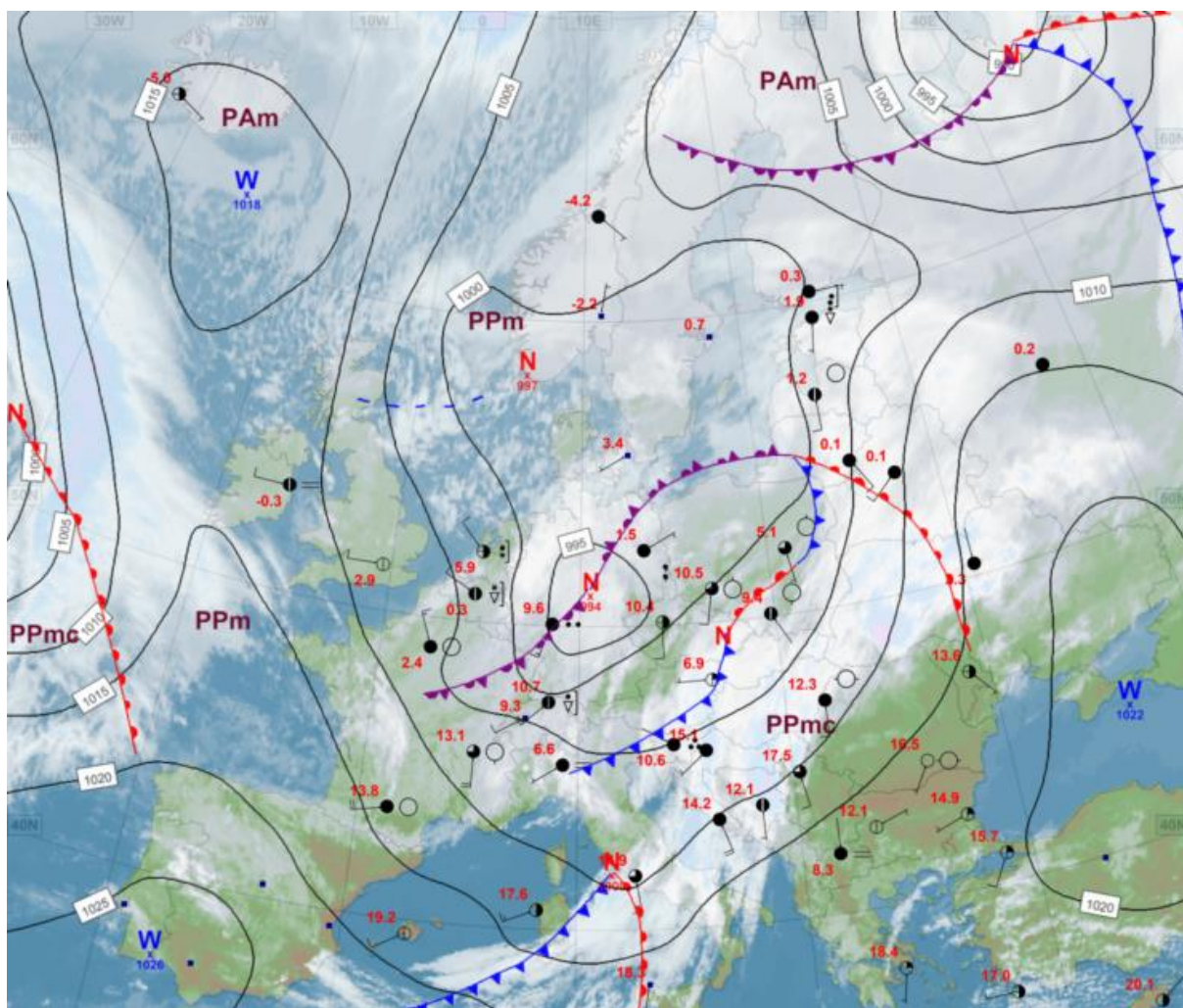
W dniach 4 I i 5 I Polska znajdowała się w zasięgu wyżów z nad południowej Europy, w polarno-morskiej masie powietrza z domieszką powietrza arktycznego. Zachmurzenie było duże z większymi przejaśnieniami i licznymi roz pogodzeniami. Występowały na ogół słabe opady śniegu, przechodzące w deszcz ze śniegiem i deszcz, przejściowo marznący i powodujący gołoledź. Wiatr był słaby i umiarkowany, miejscami dość silny i porywisty, z kierunków zmieniających się. Najsilniejsze porywy wiatru notowano w górach w dniu 5 I: 35 m/s na Śnieżce i Kasprowym Wierchu. W tym okresie wystąpiła najniższa minimalna temperatura powietrza z całego miesiąca: 5 I na Kasprowym Wierchu spadła do  $-15,2^{\circ}\text{C}$ , a poza górami tego dnia w Nowym Sączu do  $-13,6^{\circ}\text{C}$ .



Rys. 2.2. Mapa synoptyczna (4 I 2025, godz. 12 UTC)



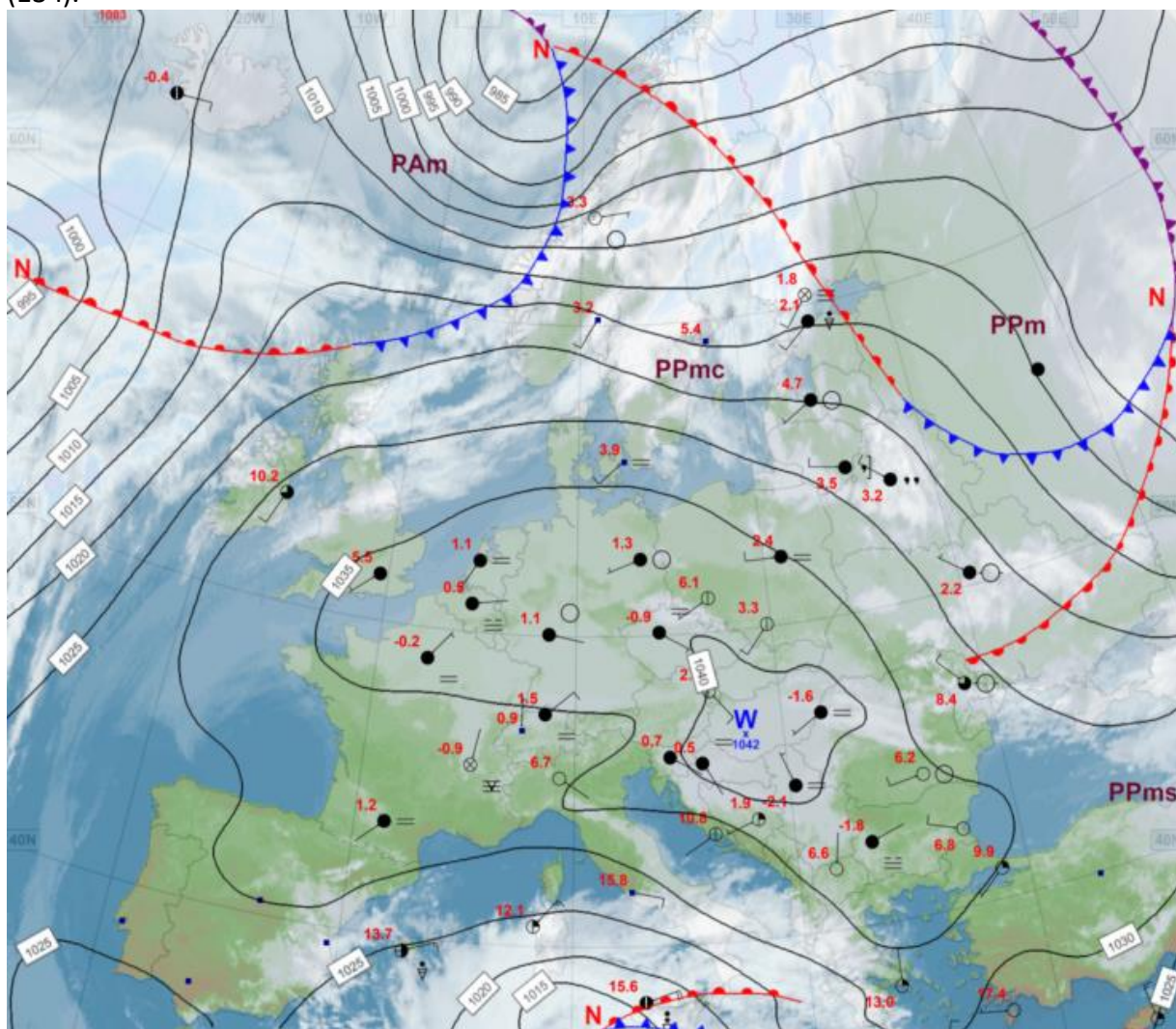
W okresie od 6 I do 12 I Polska znajdowała się pod wpływem niżów, przemieszczających się z nad Atlantyku nad Europę Środkową. Z zachodu napływały masy powietrza polarno-morskiego. Zachmurzenie było przeważnie duże, okresami pojawiały się większe przejaśnienia i lokalne roz pogodzenia. Występowały opady śniegu, miejscami o umiarkowanym natężeniu, a także deszczu ze śniegiem i deszczu lub mżawki, lokalnie marznące i powodujące gołoledź. Najwyższe zanotowane dobowe sumy opadów w tym okresie to: 12 I: 45,0 mm Istebna-Stecówka (woj. śląskie), 9 I: 42,8 mm Grzmiąca (woj. zachodniopomorskie), 29,7 mm Cisna (woj. podkarpackie), 25,2 mm Słupsk (woj. pomorskie) i Szklarska-Poręba (woj. dolnośląskie). Wiatr był słaby i umiarkowany, okresami dość silny, na południu kraju nawet lokalnie bardzo silny, powodujący zawieje śnieżne, na ogół z kierunków południowych i zachodnich. Najsilniejszy poryw wiatru wystąpił 12 I na Śnieżce i osiągnął 47 m/s. Silnie wiało też 9 I: 31 m/s na Kasprowym Wierchu, 11 I nad Bałtykiem w Ustce do 24 m/s oraz 10 I w Krakowie i Sulejowie po 23 m/s.



Rys. 2.3. Mapa synoptyczna (9 I 2025, godz. 12 UTC)

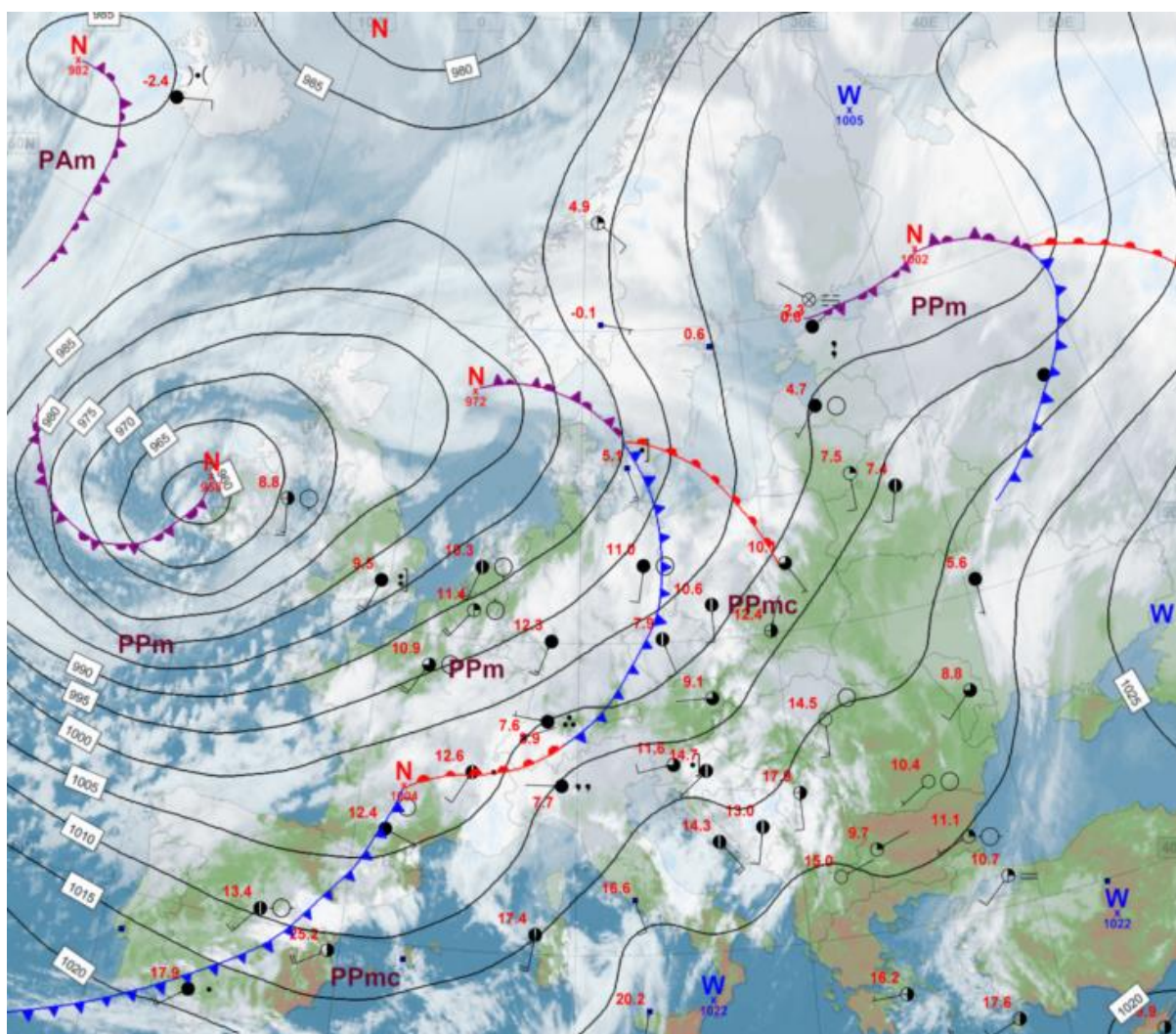


Od 13 I do 20 I Polska była w zasięgu wyżów z ośrodkami nad Europą Zachodnią i Bałkanami. Okresami, z północy na południe kraju, przemieszczały się płytkie zatoki z frontami atmosferycznymi, związane z niżami znad północy Europy. W dalszym ciągu Polska pozostawała w powietrzu polarno-morskim, okresami cieplejszym; pod koniec okresu było to powietrze polarno-morskie stare. Zachmurzenie było całkowite i duże, tylko 18 I i 20 I na południu kraju małe. W pierwszej połowie okresu występowały opady deszczu, mżawki, deszczu ze śniegiem i śniegu, okresami marznącego deszczu lub mżawki powodującej gołoledź. W drugiej części okresu dominowały opady mżawki, także chwilami marznącej i powodującej gołoledź. Na Pomorzu opady miały chwilami umiarkowane natężenie: 14 I spadło 29,3 mm opadu w Tępczu (woj. pomorskie) i 21,3 mm w Kłaninie (woj. zachodniopomorskie). Notowano również mgły, okresami dość liczne i ograniczające widzialność do 200 m. Wiatr był na ogół słaby i umiarkowany, nad Bałtykiem początkowo także dość silny, okresami porywisty, z kierunków południowych i zachodnich. Największe porywy wiatru zanotowano na Śnieżce 28 m/s (14 I) oraz na Kasprowym Wierchu 25 m/s (13 I).



Rys. 2.4. Mapa synoptyczna (17 I 2025, godz. 12 UTC)

Od 22 I do 31 I obszar Polski znajdował się w zasięgu niżów z ośrodkami nad Atlantykiem, Morzem Północnym, Morzem Norweskim i Skandynawią oraz związanych z nimi frontami atmosferycznymi. Okresami tworzyły się także wtórne ośrodki niżowe nad Morzem Bałtyckim. Cały ten okres Polska pozostawała w ciepłym powietrzu polarno-morskim, tylko przejściowo nieco chłodniejszym. Zachmurzenie było całkowite i duże z roz pogodzeniami, szczególnie w dniach 27 I i 30 I. Występowały opady deszczu, deszczu ze śniegiem i śniegu, początkowo także opady mrozujące powodujące gołoledź. Od 25 I dominowały opady deszczu, które ostatniego dnia stycznia na północy kraju przechodziły w deszcz ze śniegiem i śnieg. W całym okresie notowano także mgły ograniczające widzialność do 300 m. Najwyższa temperatura maksymalna stycznia wystąpiła w dniu 28 I: w Przemyślu osiągnęła 16,1°C, a w Tarnowie 15,8°C. Wiatr był słaby i umiarkowany, okresami dość silny i porywisty, z kierunków południowych. Największe zanotowane porywy wiatru: Śnieżka 44 m/s (24 I), Kasprowy Wierch 37 m/s (28 I) i Bielsko Biała 22 m/s (28 I).



Rys. 2.5. Mapa synoptyczna (27 I 2025, godz. 12 UTC)



## Legenda do map synoptycznych:

### Zjawiska meteorologiczne

	mgła, mgła marznąca		deszcz ciągły
	marznący deszcz, mżawka		mżawka
	grad		śnieg
	burza, błyskawica		opady przelotne deszczu lub śniegu
	zawieje lub zamieć		satelitarny obraz stref zachmurzenia

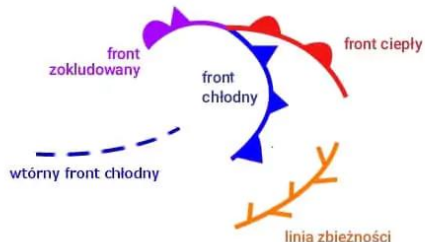
### Zachmurzenie i prędkość wiatru

	niebo bezchmurne		cisza
	1/8		wiatr zmienny
	2/8		1 m/s
	3/8		2,5 m/s
	4/8		5 m/s
	5/8		7,5 m/s
	6/8		10 m/s
	7/8	...	...
	zachmurzenie całkowite		22,5 m/s
	niebo niewidoczne		25 m/s
	stacja automatyczna		27 m/s

prędkość wiatru      kierunek wiatru      wielkość zachmurzenia

### Masy powietrza

PP	powietrze polarne
PA	powietrze arktyczne
PZ	powietrze zwrotnikowe
m	- morskie
k	- kontynentalne
C	- ciepłe
S	- stare



### Układy ciśnienia

<b>W</b>	Wyż		izobara co 5 hPa
<b>N</b>	Niż		



## Podsumowanie\*

W styczniu 2025 średnia obszarowa temperatura powietrza w Polsce wynosiła 2,0°C i była wyższa o 3,2°C od wieloletniej normy dla tego miesiąca. Według kwantylowej klasyfikacji warunków termicznych, biorąc pod uwagę średnią temperaturę dla Polski, miesiąc ten należy uznać za „anomalnie ciepły”. Styczeń pod względem termicznym na przeważającym obszarze kraju był znacznie powyżej normy (>2,0°C), tylko na krańcach północno-zachodnich był powyżej normy (od 0,5°C do 2,0°C). Najwyższe odchylenie od średniej wieloletniej: 4,7°C odnotowano w Suwałkach, gdzie średnia temperatura miesięczna wyniosła 1,4°C. Najniższe odchylenie od normy, o 1,3°C, stwierdzono w Świnoujściu, gdzie temperatura średnia wyniosła 2,1°C. W styczniu najwyższa średnia temperatura (3,0°C) wystąpiła w Ustce i Helu, a najniższa (0,8°C) w Kielcach. Najwyższa maksymalna temperatura 16,1°C wystąpiła 28 I w Przemyślu, a najniższa minimalna 5 I na Kasprowym Wierchu: -15,2°C, a poza górami -13,6°C w Nowym Sączu (również 5 I).

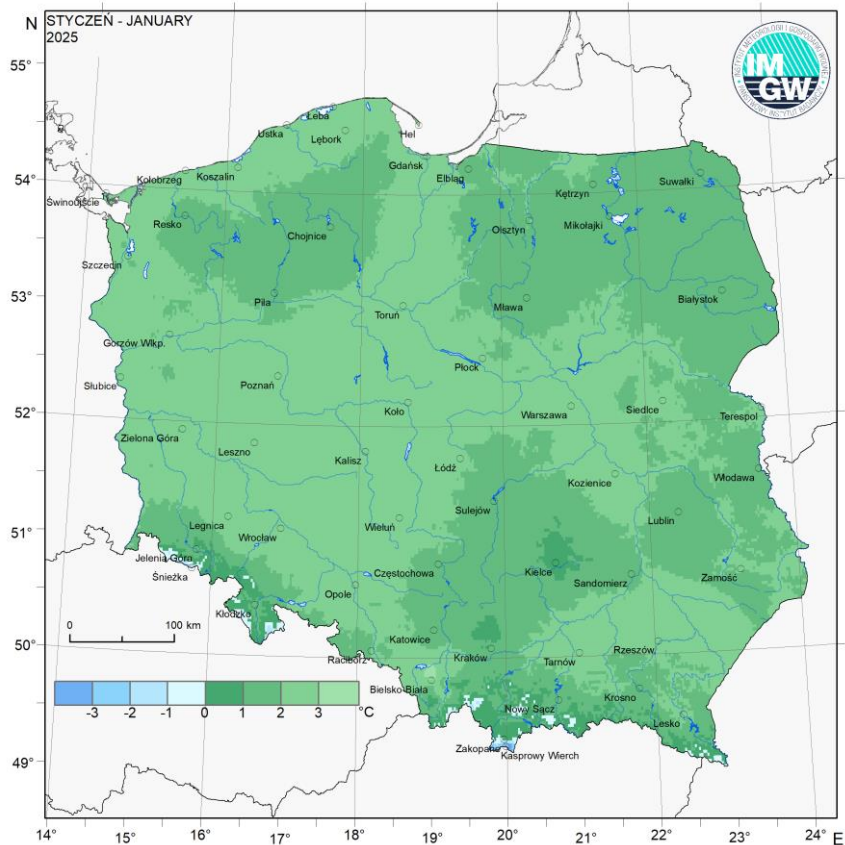
W Warszawie średnia miesięczna temperatura wyniosła 2,5°C i o 4,0°C przekroczyła normę. Najwyższa temperatura maksymalna: 11,7°C wystąpiła 30 I, a najniższą minimalną: -7,2°C zanotowano w dniu 5 I. W wieloleciu 1951-2025 rekordowo wysoką temperaturę: 18,9°C zanotowano 1 I 2023, a rekordowo niską minimalną -30,7°C odnotowano 8 I 1987.

Pod względem opadów styczeń na przeważającym obszarze Polski był w normie lub był poniżej normy opadowej. Styczeń był bardzo suchy częściowo w centrum i na południu Polski, a skrajnie suchy miejscami na Dolnym Śląsku i Opolszczyźnie, wilgotny był w pasie od Zielonej Góry po północno-zachodnie krańce woj. warmińsko-mazurskiego, bardzo wilgotny na Pomorzu, a na wschodnim Wybrzeżu był skrajnie wilgotny. Najwyższy opad w odniesieniu do normy miesięcznej: 189,5% normy zanotowano w Gdańsku-Świbnie, gdzie spadło 54,0 mm opadu. Najwyższą miesięczną sumę opadów zanotowano w Elblągu: 87,9 mm, a w górach 108,2 mm na Śnieżce. Najniższą miesięczną sumę opadów bezwzględną i w odniesieniu do normy (9,5 mm, 38,0% normy) odnotowano w Legnicy. Najwyższa dobową sumą opadów 25,1 mm wystąpiła 12 I na Kasprowym Wierchu, a poza górami 9 I w Ustce 21,2 mm.

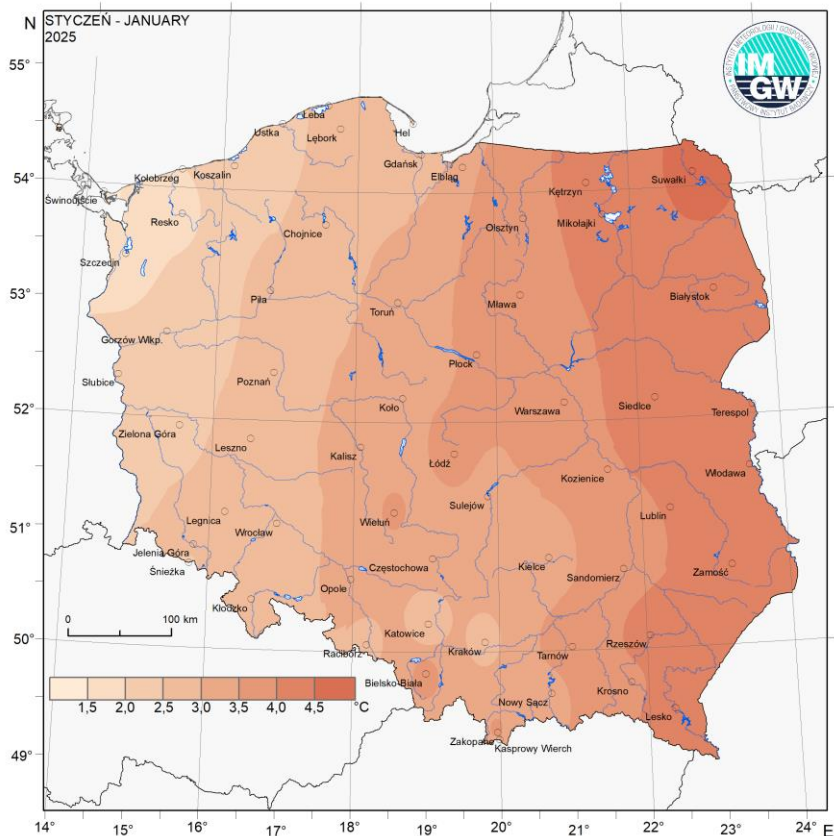
W Warszawie w styczniu suma opadów wyniosła 29,9 mm, co stanowiło 96,5% normy. Najwyższą dobową sumę opadów: 6,8 mm odnotowano 14 I. W latach 1951-2025 najwyższą dobową sumą opadu: 20,2 mm, wystąpiła 21 I 2008.

\* Podane wartości pochodzą ze stacji synoptycznych. Wszystkie odniesienia dotyczą normy wieloletniej z lat 1991-2020.

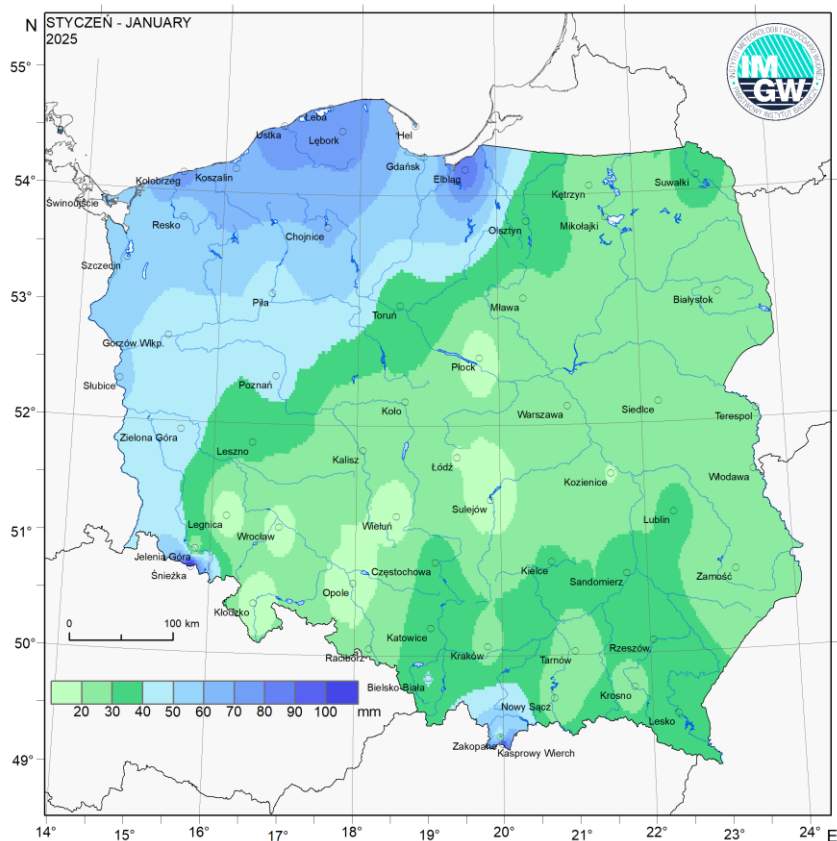
<b>Wartości ekstremalne dla stycznia w wieloleciu</b>		<b>1951-2025</b>	
Najniższa temperatura	-35,6°C	w Płocku	19 I 1963,
Najwyższa temperatura	18,9°C	w Warszawie	1 I 2023,
Najwyższa suma opadów	45,6 mm	w Sandomierzu	30 I 1978,
	65,3 mm	na Kasprowym Wierchu	20 I 1974.
<b>Wartości ekstremalne dla stycznia w dziesięcioleciu</b>		<b>2016-2025</b>	
Najniższa temperatura	-27,4°C	w Suwałkach	7 I 2017,
	-27,4°C	na Kasprowym Wierchu	6, 7 I 2017,
Najwyższa temperatura	18,9°C	w Warszawie	1 I 2023,
Najwyższa suma opadów	29,3 mm	w Koszalinie	28 I 2020,
	36,2 mm	na Kasprowym Wierchu	10 I 2023.



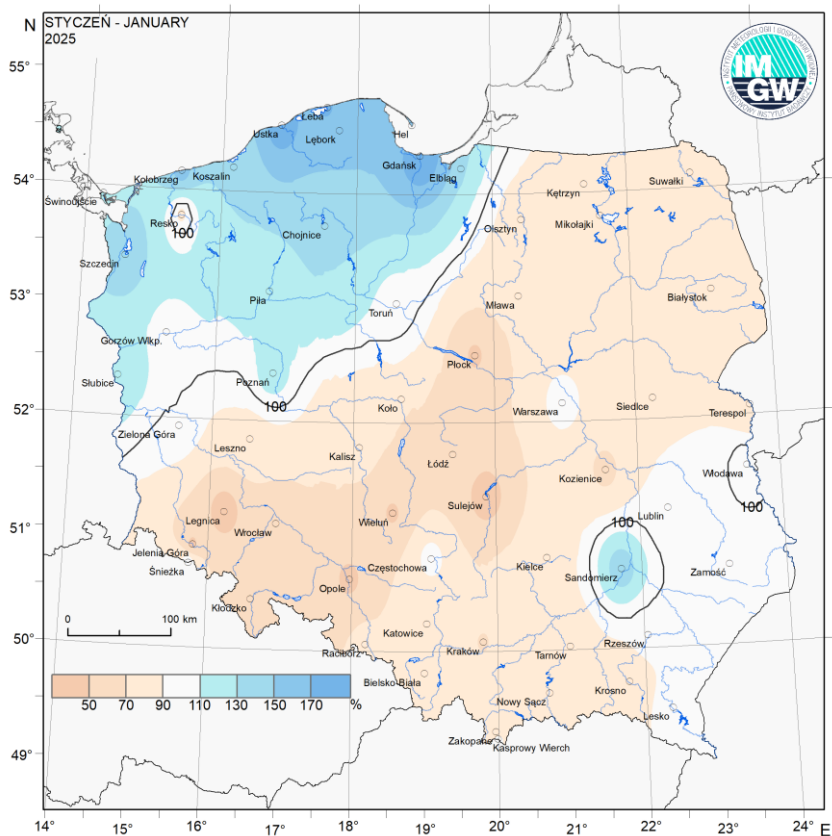
Rys. 2.6. Średnia miesięczna temperatura powietrza w styczniu 2025



Rys. 2.7. Odchylenie średniej miesięcznej temperatury powietrza w styczniu 2025, w stosunku do średniej 1991-2020



Rys. 2.8. Miesięczna suma opadu atmosferycznego w styczniu 2025



Rys. 2.9. Anomalia miesięcznej sumy opadu atmosferycznego w styczniu 2025, jako procent normy wieloletniej 1991-2020



Tab. 2.1. Charakterystyki meteorologiczne w styczniu 2025

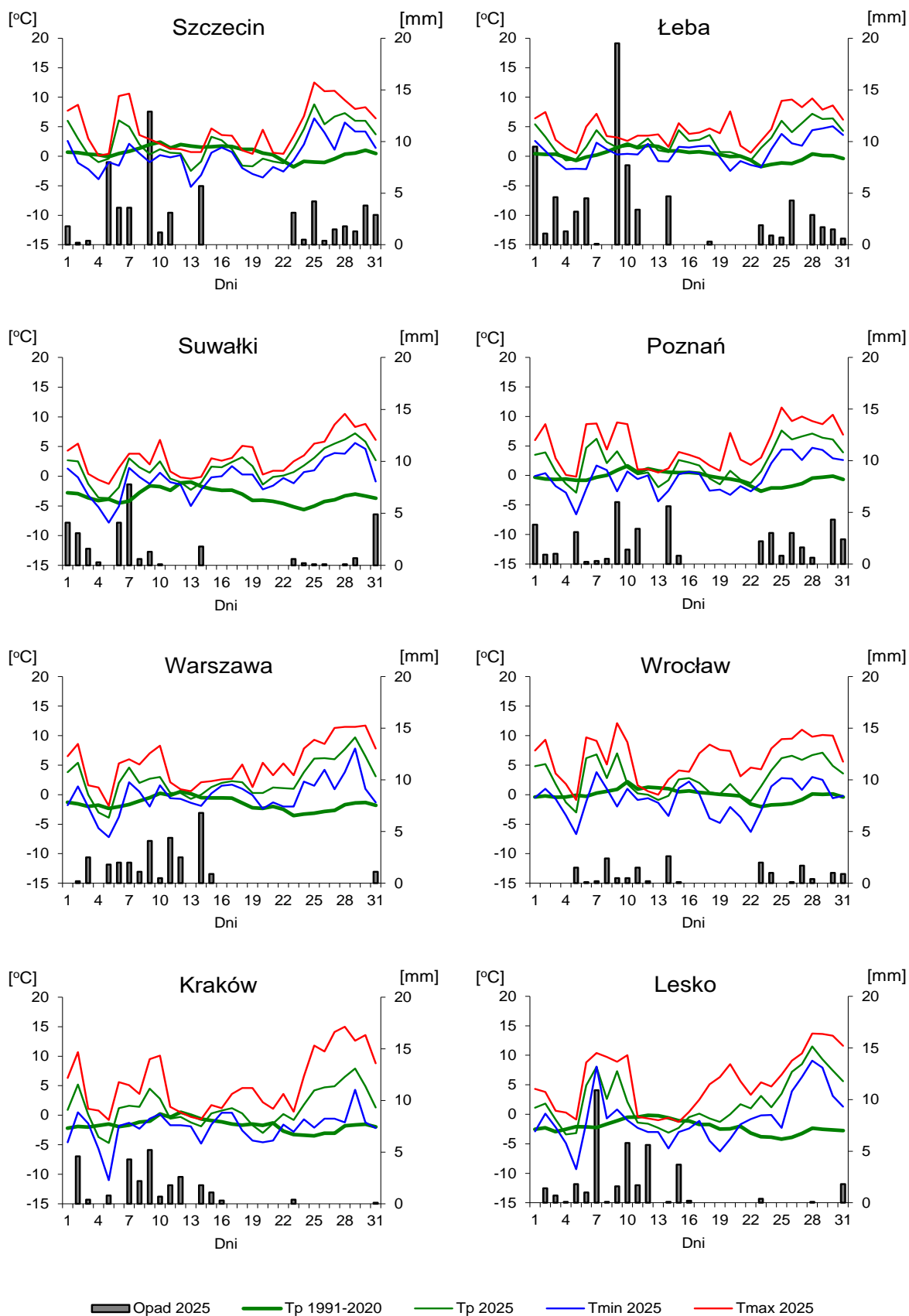
Lp.	Stacja	Temperatura powietrza						Temperatura gruntu na głęb. 5 cm		Opady atmosferyczne			Pokrywa śnieżna		Uśonecznienie
		$T$ średnia [°C]	Odchylenie $T_{\text{śr.}}$ od normy* [°C]	$T_{\text{max}}$ [°C]	$T_{\text{min}}$ [°C]	$T_{\text{min}}$ przy gruncie [°C]	Liczba dni z $T_{\text{min}}$ przy gruncie < 0°C	$T$ średnia [°C]	$T$ min [°C]	Suma [mm]	% normy*	Liczba dni z opadem	Liczba dni z pokrywą śnieżną	Max grubość pokrywy śnieżnej [cm]	Suma [godz.]
1	Białystok	1,6	4,4	10,3	-8,0	-12,7	25	1,0	-3,4	25,0	74	14	8	3	31,8
2	Chojnice	1,1	2,6	9,8	-6,7	-7,1	20	2,2	0,7	60,4	136	17	10	13	30,9
3	Jelenia Góra	1,4	2,7	13,4	-12,2	-16,5	28	0,8	-1,1	18,4	46	14	13	15	55,0
4	Katowice	1,4	2,6	13,7	-9,7	-13,8	28	1,3	-0,1	33,8	77	13	18	14	73,6
5	Kielce	0,8	3,0	12,0	-9,8	-13,6	30	-0,4	-3,3	30,8	83	13	22	17	91,5
6	Koszalin	2,4	2,1	10,6	-3,2	-6,7	18	.	.	68,9	131	19	10	12	41,6
7	Kraków	1,2	2,8	15,0	-11,0	-15,0	29	.	.	26,3	69	14	14	18	.
8	Lublin	1,5	4,0	11,3	-9,3	-13,0	23	0,5	-1,1	31,3	93	15	13	13	66,1
9	Łódź	2,2	3,7	12,4	-10,4	-15,4	24	2,9	0,9	19,9	56	17	10	9	64,4
10	Mława	1,6	3,9	9,7	-6,5	-8,9	24	2,0	-0,3	25,5	73	17	10	10	34,4
11	Olsztyn	1,9	3,9	11,7	-6,8	-16,2	19	2,1	0,1	35,6	85	17	10	10	.
12	Opole	2,6	3,1	13,3	-7,7	-7,7	22	1,7	-3,3	14,7	47	14	6	7	79,7
13	Poznań	2,3	2,7	11,5	-6,6	-10,2	20	2,4	0,6	44,9	119	20	7	4	42,7
14	Rzeszów	2,5	4,4	14,6	-11,6	-13,5	25	.	.	31,8	95	16	11	13	.
15	Suwałki	1,4	4,7	10,5	-7,8	-9,7	21	1,8	0,3	31,5	83	17	6	5	17,9
16	Szczecin	2,3	1,7	12,5	-5,2	-9,7	20	1,9	-0,5	60,0	150	19	7	12	38,1
17	Terespol	2,1	4,5	12,3	-7,2	-8,3	22	1,3	-0,7	22,4	75	16	8	7	45,5
18	Toruń	2,2	3,3	10,3	-4,8	-9,8	21	.	.	33,2	102	19	7	5	38,6
19	Warszawa	2,5	4,0	11,7	-7,2	-11,6	22	1,1	-1,6	29,9	96	13	8	6	64,2
20	Wrocław	2,8	2,8	12,1	-6,7	-9,8	26	0,6	-3,3	16,7	59	17	3	4	68,1
21	Zakopane	0,4	3,7	11,9	-13,3	-18,2	29	0,3	-0,8	34,4	74	16	29	31	102,9
22	Zielona Góra	2,0	2,3	14,1	-5,1	-7,4	21	1,4	-1,5	44,4	100	21	10	10	59,2

Oznaczenie:

kreska (-) - zjawisko nie wystąpiło;

kropka (.) - brak danych;

\* wartości odniesiono do norm z okresu 1991-2020;



Rys. 2.10. Średnie dobowe i ekstremalne temperatury powietrza oraz dobowe sumy opadu atmosferycznego w styczniu 2025

## **Informacja o liczbie zarejestrowanych wyładowań atmosferycznych na obszarze Polski przez system wykrywania wyładowań PERUN**

W styczniu 2025 system wykrywania i lokalizacji wyładowań atmosferycznych PERUN zarejestrował na obszarze Polski 2063 wyładowania, w tym:

- 1 344 wyładowania chmurowe,
- 10 wyładowań doziemnych dodatnich,
- 709 wyładowań doziemnych ujemnych.



### 3. Warunki hydrologiczne

Ostatniego dnia grudnia (poprzedniego miesiąca) stan wody rzek głównych dorzecza Wisły tj. Wisły, Narwi i Bugu układał się w strefie wody niskiej, jedynie na Wiśle powyżej ujścia Raby notowano stan na granicy wody niskiej i średniej (z przewagą stanu wody średniej), a na odcinku przyujściowym – stan wody średniej. Stan wody Odry na całej długości układał się w strefie wody średniej, a stan Warty - powyżej ujścia Neru w strefie wody niskiej, a poniżej ujścia tej rzeki – w strefie wody średniej.

W rozdziale Warunki meteorologiczne tego Biuletynu styczeń pod względem opadowym na przeważającym obszarze Polski został oceniony jako miesiąc w normie lub poniżej normy. Rozkład obserwowanych w styczniu opadów był bardzo nierównomierny (zarówno w czasie jak w przestrzeni) i niekorzystny z punktu widzenia warunków hydrologicznych. Styczeń był: bardzo suchy częściowo w centrum i na południu Polski, skrajnie suchy miejscami na Dolnym Śląsku i Opolszczyźnie, w normie lub wilgotny w pasie od Zielonej Góry po północno-zachodnie krańce woj. warmińsko-mazurskiego, bardzo wilgotny na Pomorzu, a skrajnie wilgotny na wschodnim Wybrzeżu (rys. 2.9).

W tab. 3.1 umieszczono najwyższe (20 mm i wyższe) dobowe sumy opadu, jakie odnotowano w poszczególnych dniach stycznia.

Tab. 3.1. Najwyższe dobowe sumy opadu w województwach (20 mm i wyższe)

Data	Opad maks. [mm]	Lokalizacja	Województwo i % stacji z opadem powyżej 20 mm	Zlewnia
5 I	21	Jakuszyce	dolnośląskie, 1%	Bóbr
8 I	23	Jakuszyce	dolnośląskie, 1%	Bóbr
9 I	43	Grzmiąca	zachodniopomorskie, 10%	Parsęta
	30	Cisna	podkarpackie, 7%	San
	25	Szklarska Poręba	dolnośląskie, 1%	Bóbr
	25	Słupsk II	pomorskie, 14%	Słupia
10 I	32	Grzmiąca	zachodniopomorskie, 1%	Parsęta
11 I	36	Grzmiąca	zachodniopomorskie, 1%	Parsęta
	23	Zelewó	pomorskie, 2%	Reda
12 I	45	Istebna-Stecówka	śląskie, 1%	Odra
	25	Kasprowy Wierch	małopolskie, 1%	Dunajec
14 I	29	Tępcz	pomorskie, 2%	Łeba
	21	Kłanino	zachodniopomorskie, 1%	Parsęta


W styczniu opady wyższe lub równe 20 mm na dobę (uznawane już za potencjalnie niebezpieczne, tab. 3.1) wystąpiły jedynie w pierwszej połowie miesiąca. W tab. 3.1 na 13 wartości najwyższych dobowych sum opadu w województwach (20 mm i wyższe) aż 7 opadów odnotowano w województwach zachodniopomorskim i pomorskim. W tych województwach zanotowano też najwyższy % stacji z opadami powyżej 20 mm (9 I: pomorskie 14%, a zachodniopomorskie 10%). W drugiej połowie miesiąca odnotowano niższe opady niż w I połowie, ale najwyższe opady w tym okresie wystąpiły również w północnej części Polski. Rozkład sumy opadu w styczniu 2025 i jej anomalii (jako procent normy wieloletniej 1991-2020) przedstawiono na rys. 2.8 i 2.9.

Przypomnijmy, że w miesiącach zimowych, ze względu na obserwowane wtedy spadki temperatury powietrza poniżej 0°C, warunki hydrologiczne powinny być oceniane z uwzględnieniem warunków opadowych i warunków termicznych. W rozdziale Warunki meteorologiczne styczeń oceniono jako „anomalnie ciepły” (średnia obszarowa temperatura powietrza wynosiła w Polsce 2,0°C i była wyższa o 3,2°C od wieloletniej normy). Mimo tej oceny w pierwszej połowie stycznia, wyraźnie chłodniejszej niż druga, na dużej części terytorium Polski utworzyła się pokrywa śnieżna, która potem w kolejnych dniach miesiąca na większości obszaru Polski (poza górami) wraz ze wzrostem temperatury powietrza (rys. 2.10) topiła się, wpływając zwykle na nieduże podniesienie stanu wody (głównie w dorzeczu Wisły - do stanu wody z pogranicza wody górnej niskiej i dolnej średniej, lokalnie średniej).

Najwyższe dobowe przyrosty stanu wody (60 cm i wyższe) zamieszczono poniżej w tab. 3.2.

Tab. 3.2. Najwyższe dobowe przyrosty stanu wody (60 cm i wyższe, o 6 UTC)

Data	Województwo	Rzeka	Stacja hydrologiczna	Przyrost stanu [cm]
2 I	zachodniopomorskie	Morze Bałtyckie	Świnoujście	65
7 I	zachodniopomorskie	Moszczeniczka	Pieszcz	70
9 I	opolskie	Biała Głuchofaska	Biała Nyska	87
10 I	podkarpackie	Solinka	Terka	73
	podkarpackie	Solinka	Cisna	64
11 I	pomorskie	Radunia	Pruszcz Gdański	64
	zachodniopomorskie	Morze Bałtyckie	Kołobrzeg	63
	warmińsko-mazurskie	Wąska	Pasłęk	62
	zachodniopomorskie	Morze Bałtyckie	Darłowo	62
	pomorskie	Morze Bałtyckie	Dębki	60
13 I	kujawsko-pomorskie	Wisła	Toruń	60
15 I	zachodniopomorskie	Morze Bałtyckie	Świnoujście	63
22 I	małopolskie	Wisła	Czernichów-Prom	78
28 I	małopolskie	Wisła	Grabie	69
30 I	małopolskie	Wisła	Grabie	62
31 I	śląskie	Soła	Czaniec-Kobiernice	96

 - przekroczenie stanu alarmowego

W styczniu wśród głównych czynników wpływających na umiarkowane wzrosty stanu wody w rzekach (tab. 3.2) wymienić należy: opady (głównie deszczu i deszczu ze śniegiem), topienie się pokrywy śnieżnej, pracę urządzeń hydrotechnicznych oraz silny wiatr na Bałtyku z kierunków północnych powodujący wzrosty stanu wody na Bałtyku i w ujściach rzek do Morza Bałtyckiego. W styczniu (ze względu na relatywnie wysokie temperatury powietrza) zjawiska lodowe na rzekach poza obszarami górskimi praktycznie nie wystąpiły.

Jedynie przekroczenia stanu alarmowego, jakie odnotowano w styczniu na stacjach hydrologicznych, zostały wywołane w dniach 10-13 I przez silny wiatr wiejący z kierunków północnych na Bałtyku. Przekroczenia stanu alarmowego odnotowano zarówno na stacjach na Morzu Bałtyckim, jak też w ujściach Wisły i Odry, ujściach rzek Przymorza oraz na Zalewie Szczecińskim i Zalewie Wiślanym.

W tab. 3.3 zestawiono przekroczenia stanu alarmowego, odnotowane w tym miesiącu na stacjach hydrologicznych.

Tab. 3.3. Stacje hydrologiczne, na których w styczniu 2025 wystąpiły przekroczenia stanu alarmowego wywołane silnym wiatrem z kierunków północnych na Bałtyku

Województwo	Rzeka/ Bałtyk	Stacja hydrologiczna	Przekroczenia stanu alarmowego		
			W dniach	Data maks.	Maks.{cm}
zachodniopomorskie	Odra	Gryfino	12-13 I	12 I	18
	Odra	Szczecin Most Długi	12 I	12 I	14
	Regalica	Szczecin-Podjuchy	12 I	12 I	11
	Zalew Szczeciński	Trzebież	11-13 I	12 I	43
	Morze Bałtyckie	Świnoujście	11-12 I	11 I	23
	Cieśnina Dziwna	Wolin	12-13 I	12 I	20
	Morze Bałtyckie	Kołobrzeg	11 I	11 I	3
	Morze Bałtyckie	Darłowo	11 I	11 I	5
pomorskie	Morze Bałtyckie	Ustka	11 I	11 I	7
	Morze Bałtyckie	Władysławowo	11-12 I	11 I	27
	Morze Bałtyckie	Hel	11 I	12 I	14
	Morze Bałtyckie	Puck	11-12 I	12 I	2
	Morze Bałtyckie	Gdynia	11-12 I	12 I	14
	Morze Bałtyckie	Gdańsk - Port Północny	11-12 I	12 I	26
	Martwa Wisła	Gdańsk - Sobieszewo	10-12 I	12 I	32
	Zalew Wiślany	Ostłonka	12 I	12 I	10
	Szkarpawa	Tujsk	12 I	12 I	9
warmińsko-mazurskie	Nogat	Nowotki	12 I	12 I	7

W styczniu na rzekach w dorzeczu Wisły i Odry nie odnotowano przekroczeń stanu alarmowego, (poza wspomnianymi już wyżej przekroczeniami w ujściach Wisły i Odry spowodowanymi wiatrem na Bałtyku, tab. 3.3).

W dorzeczu Wisły przekroczenia stanu ostrzegawczego odnotowano na rzekach: Brynica (Brynica, 10-11, 18, 26-30 I), Wołosaty (Stuposiany, 10 I) oraz Mławka (Szreńsk, 18-20 I).

W dorzeczu Odry przekroczenia stanu ostrzegawczego odnotowano na rzekach: Boczne koryto Opawy (Branice, 1-31 I), Budkowiczanka (Krzywa Góra, 17-19 I), Widawa (Zbytowa, 12-31 I; Krzyżanowice, 20-31 I), Polska Woda (Bogdaj, 16-17 I), Orla (Korzeńsko, 19 I), Szprotawa (Szprotawa, 16-18 I), Lubsza (Pleśno, 11-12 I) i Swędrnia (Dębe, 1-7, 12-31 I).

Sytuacja hydrologiczna w styczniu (podobnie jak w listopadzie i grudniu) była stabilna. Wyższe opady wystąpiły tylko okresowo, głównie na obszarze północnej i północno-zachodniej Polski. W pierwszej (chłodniejszej) połowie miesiąca na dużej części terytorium Polski utworzyła się pokrywa śnieżna, która w kolejnych dniach (głównie w II cieplejszej połowie miesiąca) topiła się, powodując zwykle nieduże podniesienia stanu wody, głównie w dorzeczu Wisły. Jedyne przekroczenia stanu alarmowego wystąpiły w dniach 10-13 I i zostały wywołane silnym wiatrem na Bałtyku, z kierunków północnych. Przekroczenia stanu ostrzegawczego odnotowano na 3 rzekach (3 stacjach) w dorzeczu Wisły i na 8 rzekach (9 stacjach) w dorzeczu Odry. Ostatniego dnia stycznia stan wody rzek głównych znajdował



się najczęściej na granicy wody średniej i niskiej lub w strefach wody średniej (Odra) lub niskiej (Narew). Stan wody w dorzeczu Wisły był relatywnie niższy niż w dorzeczu Odry.

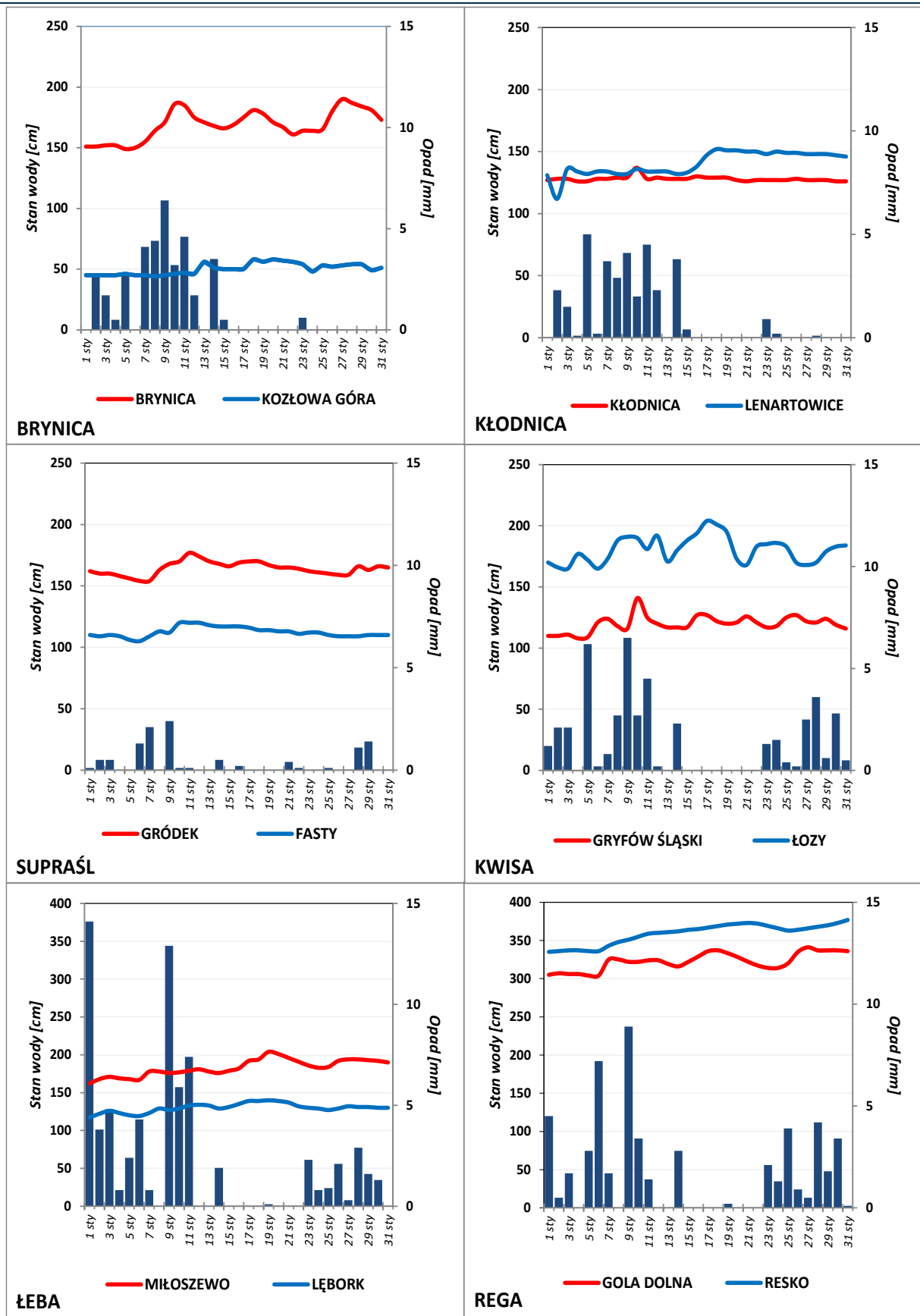
Ostatniego dnia stycznia (31 I) stan wody Wisły układał się: powyżej ujścia Radomki w strefie wody średniej, na odcinku od ujścia Radomki do ujścia Drwęcy na granicy wody niskiej i średniej (z przewagą stanu wody niskiej), a poniżej ujścia Drwęcy ponownie w strefie wody średniej. Stan Narwi znajdował się w strefie wody niskiej. Stan Bugu na przeważającej długości odcinka granicznego układał się w strefie wody niskiej, a na pozostałej długości tej rzeki - na granicy wody średniej i niskiej. Stan wody Odry na przeważającej długości znajdował się w strefie wody średniej, tylko na odcinku pomiędzy ujściem Strzegomki i Kaczawy - w strefie wody wysokiej. Stan wody Warty powyżej ujścia Neru układał się w na granicy wody niskiej i średniej, a poniżej ujścia tej rzeki – w strefie wody średniej.

W styczniu wartości stanu wody niższe od najniższych dotychczas obserwowanych (do roku 2023) lub równe wartościom najniższym odnotowano na pięciu stacjach hydrologicznych w dorzeczu Wisły i jednej w dorzeczu Odry (tab. 3.4). Najniższy stan wody w odniesieniu do wartości najniższej dotychczas obserwowanej zanotowano w tym miesiącu w dorzeczu Wisły (na tej samej stacji co w poprzednim miesiącu grudniu) na rzece Żylica, na stacji Łodygowice. W dniu 5 I na stacji tej stan wody był o 9 cm niższy od najniższej wartości dotychczas (do roku 2023) zaobserwowanej na tej stacji. W poprzednim miesiącu, grudniu, wartości stanu wody niższe od najniższych dotychczas obserwowanych (do roku 2023) lub równe wartościom najniższym odnotowano (podobnie jak w bieżącym miesiącu) na pięciu stacjach hydrologicznych w dorzeczu Wisły i jednej w dorzeczu Odry.

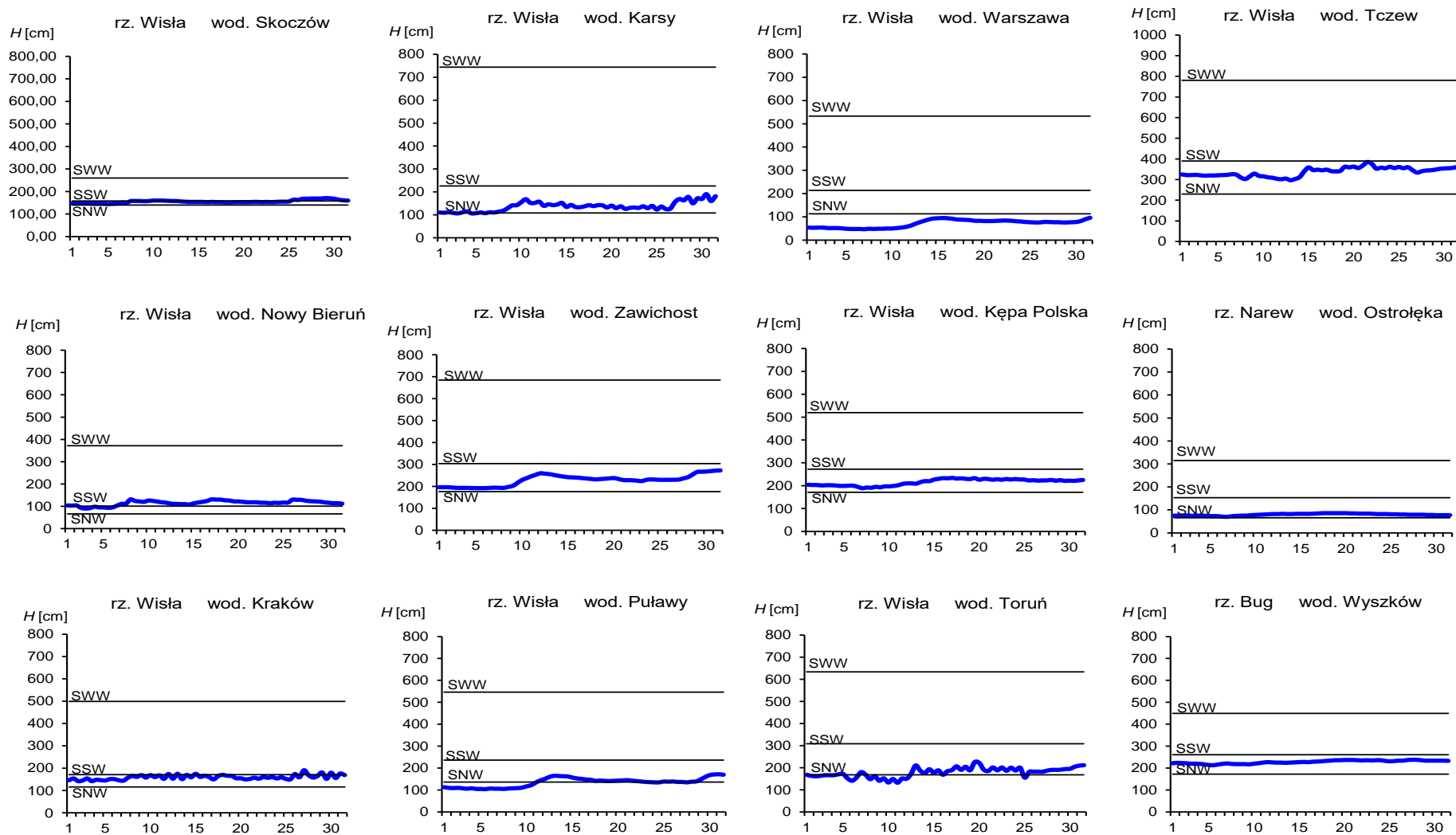
Tab. 3.4. Stacje hydrologiczne, na których stan wody w styczniu 2025 był niższy od dotychczas obserwowanych wartości (do roku 2023)

Lp.	Rzeka	Stacja hydrologiczna	$H_{\min \text{ abs.}}$ [cm]	Styczeń 2025 $H_{\min}$ [cm]	$\Delta H$ * [cm]	Data wystąpienia $H_{\min}$ (styczeń 2025)
Dorzecze Wisły						
1	Żylica	Łodygowice	357	348	9	5
2	Poprad	Stary	108	108	0	20
3	Łososina	Jakubkowice	40	40	0	5
4	Wisłoka	Pustków	87	82	5	1, 2, 6
5	San	Przemysł	67	65	2	1
Dorzecze Odry						
1	Łomnica	Łomnica	225	224	1	4, 5

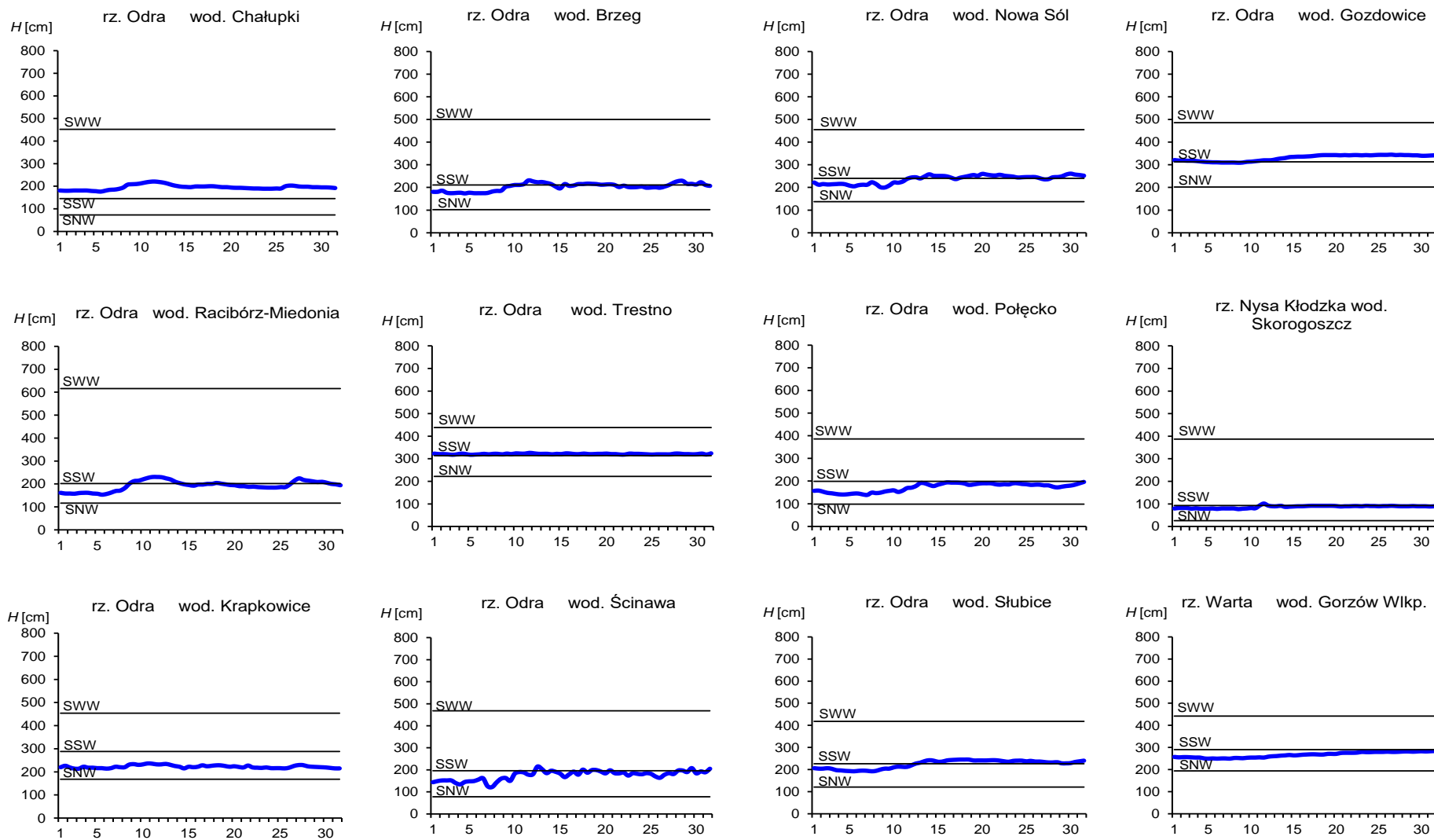
\*  $\Delta H = H_{\min \text{ abs.}} - H_{\min}$  (styczeń 2025)



Rys. 3.1. Wysokość opadów średnich [mm] i przebieg stanu wody [cm] dla wybranych zlewni w Polsce w styczniu 2025



Rys. 3.2. Hydrogramy stanu wody na Wiśle, Narwi i Bugu w styczniu 2025



Rys. 3.3. Hydrogramy stanu wody na Odrze, Nysie Kłodzkiej i Warcie w styczniu 2025



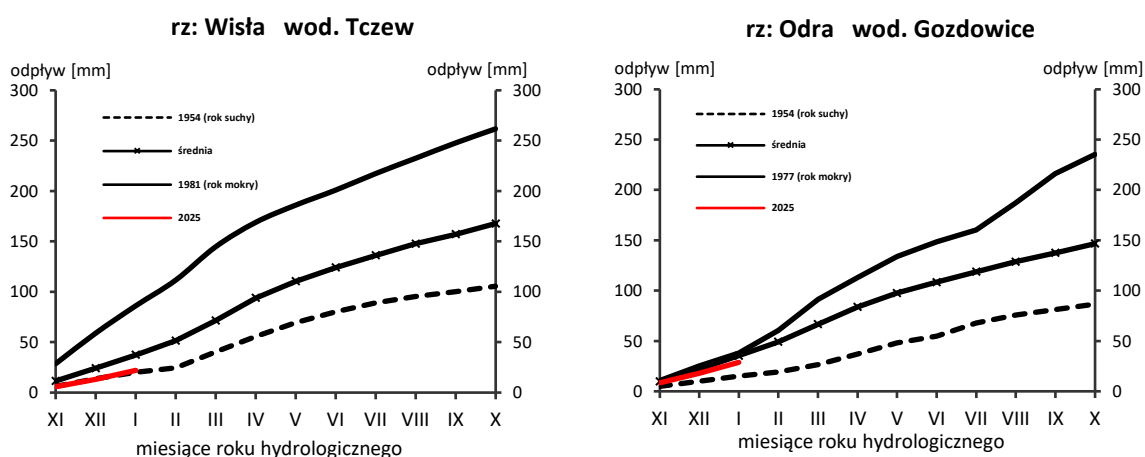
#### 4. Odplyw rzeczny

W styczniu wartości odpływu w przekrojach rzek dorzecza Wisły były wyraźnie niższe od normy, w dorzeczu Odry były na ogół niższe od normy, a w rzekach Przymorza (Rega i Słupia) przekraczały normę.

Odplyw (tab. 4.1) w dorzeczu Wisły wynosił od 53,8% normy w Ostrołęce na Narwi do 90,0% normy w Kośminie na Wieprzu, a w dorzeczu Odry od 65,3% normy w Poznaniu na Warcie do 111% w Raciborzu-Miedoni na Odrze. W rzekach Przymorza odpływ stanowił 111% odpływu normalnego w Resku na Redze, 114% w Słupsku na Słupi, a w Sępopolu na Łynie odpływ wyniósł 70,0% normy.

W dorzeczu Wisły odpływ kształtował się od 1,37 SNQ w Ostrołęce na Narwi do 2,55 SNQ w Przemyślu na Sanie, a w dorzeczu Odry od 1,56 SNQ w Sieradzu na Warcie do 9,29 SNQ w Osetnie na Baryczy. W rzekach Przymorza odpływ wyniósł 2,56 SNQ w Resku na Redze, 2,36 SNQ w Słupsku na Słupi, a w Sępopolu na Łynie 2,21 SNQ. Odplyw Wisły do Bałtyku wyniósł w styczniu 8,74 mm, tj. 66,5% normy, Odrą odpłynęło 10,5 mm, tj. 78,7% normy.

Odplyw rzeczny od początku roku hydrologicznego, tj. od 1 listopada 2024 do 31 stycznia 2025 w dorzeczu Wisły zawierał się w granicach od 45,6% normy w Przemyślu na Sanie do 82,9% normy w Kośminie na Wieprzu, a w dorzeczu Odry od 61,6% normy w Sieradzu na Warcie do 95,3% w Skorogoszczy na Nysie Kłodzkiej. W przekrojach zamykających zlewnie: Wisły w Tczewie oraz Odry w Gozdowicach odpływ ten był równy odpowiednio: 58,7% i 80,8% odpływu normalnego, w rzekach Przymorza wynosił: dla Regi 93,8%, dla Słupi 94,5%, a dla Łyny 56,4% normy.



Rys. 4.1. Krzywe sumowe odpływu Wisły w Tczewie i Odry w Gozdowicach

Tab. 4.1. Odpływ w styczniu 2025 w stosunku do wartości charakterystycznych z wielolecia 1951-2020, w wybranych profilach wodowskazowych

0	Rzeka	Przekrój	A [km <sup>2</sup> ]	Wartości średnie z okresu 1951 - 2020								Styczeń 2025					
				$\bar{Q}_1$ [m <sup>3</sup> /s]	$\bar{H}_1$ [mm]	$\bar{V}_1$ [mln m <sup>3</sup> ]	$\bar{Q}_r$ [m <sup>3</sup> /s]	$\bar{H}_r$ [mm]	$\bar{V}_r$ [mln m <sup>3</sup> ]	$\bar{\Sigma}k$	SNQ [m <sup>3</sup> /s]	Q [m <sup>3</sup> /s]	H [mm]	V [mln m <sup>3</sup> ]	n [%]	Q/SNQ	$\Sigma k$
1	2	3	4	5	6	7	8	9	10	11	12	13	14	15	16	17	18
1	Wisła	Sandomierz	31 810	236	19,9	633	287	285	9 063	0,195	101	162	13,6	434	68,6	1,61	0,12
2	Wisła	Warszawa	84 945	497	15,7	1 331	564	210	17 801	0,208	228	334	10,5	895	67,2	1,46	0,127
3	Wisła	Tczew	193 923	952	13,1	2 550	1 032	168	32 539	0,221	417	633	8,74	1 695	66,5	1,52	0,129
4	Dunajec	Nowy Sącz	4 337	32,3	19,9	86,5	65,0	472	2 049	0,141	14,9	27,3	16,9	73,1	84,5	1,83	0,094
5	San	Przemysł	3 688	39,7	28,8	106	52,0	445	1 641	0,197	10,3	26,4	19,2	70,7	66,5	2,55	0,09
6	Wieprz	Kośmin	10 293	36,0	9,36	96,4	36,8	113	1 159	0,241	16,0	32,4	8,43	86,8	90,0	2,03	0,2
7	Pilica	Sulejów	3 927	23,2	15,8	62,1	22,0	177	695	0,248	8,98	17,8	12,1	47,7	76,8	1,98	0,176
8	Narew	Ostrołęka	21 921	109	13,3	292	108	156	3 411	0,243	42,7	58,7	7,17	157	53,8	1,37	0,117
9	Bug	Wyszków	38 394	147	10,2	392	152	125	4 799	0,23	52,3	92,4	6,45	247	63,1	1,77	0,12
10	Łyna	Sępólno	3 640	27,6	20,3	73,9	24,5	212	773	0,281	8,74	19,3	14,2	51,7	70,0	2,21	0,158
11	Odra	Racibórz Miedonia	6 729	54,4	21,7	146	64,3	302	2 029	0,198	15,4	60,2	24,0	161	111	3,90	0,185
12	Odra	Ścinawa	29 612	161	14,6	432	177	189	5 589	0,216	62,9	155	14,0	415	96,2	2,46	0,198
13	Odra	Nowa Sól	36 840	200	14,5	536	200	171	6 292	0,227	79,4	183	13,3	490	91,5	2,30	0,214
14	Odra	Gozdowice	109 810	548	13,4	1 468	512	147	16 141	0,239	241	431	10,5	1 154	78,7	1,79	0,193
15	Nysa Kł.	Skorogoszcz*	4 489	30,5	18,2	81,7	35,7	251	1 127	0,199	9,12	33,3	19,9	89,2	109	3,65	0,190
16	Barycz	Osetno	4 580	19,1	11,2	51,2	14,8	102	466	0,262	1,55	14,4	8,42	38,6	75,4	9,29	0,247
17	Bóbr	Żagań	4 255	40,4	25,4	108	37,2	276	1 174	0,231	11,5	32,0	20,1	85,7	79,2	2,79	0,19
18	Warta	Sieradz	8 156	48,7	16,0	130	44,3	171	1 396	0,253	21,0	32,7	10,7	87,6	67,1	1,56	0,156
19	Warta	Poznań	25 909	112	11,6	300	99,4	121	3 135	0,253	39,6	73,0	7,55	196	65,3	1,84	0,173
20	Noteć	N. Drezdenko	15 932	83,5	14,0	224	72,6	144	2 289	0,265	38,4	66,8	11,2	179	80,0	1,74	0,195
21	Rega	Resko	1 134	10,5	24,8	28,1	8,70	242	274	0,276	4,57	11,7	27,6	31,3	111	2,56	0,259
22	Słupia	Słupsk	1 452	17,6	32,4	47,0	15,6	338	491	0,278	8,52	20,1	37,1	53,8	114	2,36	0,262

\* - Przepływ jest pod wpływem gospodarki wodnej w zbiorniku.

Objaśnienia do tab. 4.1:

- $\bar{Q}_m$  przepływ średni miesięczny z wielolecia,  
 $\bar{H}_m$  odpływ miesięczny średni z wielolecia,  
 $\bar{V}_m$  odpływ miesięczny średni z wielolecia,  
m indeks miesiąca  
 $\bar{Q}_r$  przepływ średni roczny, z wielolecia,  
 $H_r$  odpływ roczny średni z wielolecia,  
 $\bar{V}_r$  odpływ roczny średni z wielolecia,  
r indeks roku  
 $\sum \bar{k}$  wskaźnik sumarycznego odpływu od początku roku hydrologicznego (1 listopada) w stosunku do odpływu średniego rocznego będącego sumą odpływów średnich miesięcznych z wielolecia  
SNQ przepływ średni z minimalnych przepływów rocznych z wielolecia,  
Q przepływ średni miesięczny bieżącego roku,  
H odpływ miesięczny bieżącego roku,  
V odpływ miesięczny bieżącego roku,  
n procent w stosunku do wartości średniej z wielolecia  
 $n = Q / \bar{Q} * 100\% = H / \bar{H} * 100\% = V / \bar{V} * 100\%$ ,  
k wskaźnik odpływu miesięcznego w stosunku do odpływu średniego rocznego  
 $k = H / \bar{H}_r = V / \bar{V}_r$   
 $\sum k$  wskaźnik sumarycznego odpływu od początku roku hydrologicznego (1 listopada) do końca danego miesiąca w stosunku do odpływu średniego rocznego

## 5. Jeziora



Rys. 5.1. Lokalizacja jezior bazowych i bilansowych sieci limnologicznej

Tab. 5.1. Morfometria i zlewnie jezior

Lp.	Jezioro	Jezioro				Zlewnia	Powierzchnia zlewni jeziora <sup>2)</sup>
		Powierzchnia <sup>2)</sup>	Objętość <sup>1)</sup>	Głębokość średnia <sup>1)</sup>	Głębokość maksymalna <sup>1)</sup>		[km <sup>2</sup> ]
		[km <sup>2</sup> ]	[mln m <sup>3</sup> ]	[m]	[m]		
1	Sławskie	8,3	43	5,2	12,3	Obrzyca – Odra	206,1
2	Powidzkie	10,7	131	12,7	45,4	Meszna – Warta	79,6
3	Komorze	3,9	49	11,8	34,7	Piława – Gwda	35,8
4	Sławianowskie	2,9	18	6,6	15,0	Głomia – Gwda	107,7
5	Ostrowite	3,6	36	9,4	28,5	Płociczna – Drawa	311,3
6	Morzycko	3,2	50	14,5	60,0	Słubia – Odra	60,6
7	Rajgrodzkie	14,6	143	9,4	52,0	Jegrznia – Biebrza	742,8
8	Dejguny	7,7	93	12,0	45,0	Pisa – Narew	57,7
9	Bachotek	2,2	15	7,2	24,3	Skarlanka – Drwęca	233,4
10	Jasień	5,7	48	8,3	32,2	Łupawa	71,7
11	Raduńskie Górne	3,8	60	15,5	43,0	Radunia	73,6
12	Dadaj	9,7	121	12,3	39,8	Wadąg – Łyna	340,1

<sup>1)</sup> Atlas Jezior Polski (1996, 1997, 2000)

<sup>2)</sup> Mapa Podziału Hydrograficznego (2010)



W styczniu średni stan wody w kontrolowanych jeziorach był wyższy od wartości z grudnia o 3 cm i wyniósł 218 cm. W dziewięciu jeziorach odnotowano wzrost, a w dwóch (Sławskie i Rajgrodzkie) spadek poziomu wody. Stan wody pięciu jezior znajdował się w strefie wody wysokiej, również pięciu - w strefie wody średniej, a dwóch – w niskiej (Powidzkie i Rajgrodzkie). Największe przekroczenie stanu wody średniej stwierdzono w Powidzkim (-55 cm), a duże odnotowano też w Rajgrodzkim (-38 cm). W pozostałych jeziorach (tam gdzie przekroczenia zanotowano) były one dużo niższe (poniżej 15 cm). Bieżący średni dla jezior stan wody był niższy o przeszło 4 cm od stanu średniego wieloletniego. W sześciu jeziorach stan bieżący był niższy od średniego wieloletniego (najbardziej w Powidzkim i Rajgrodzkim) oraz w sześciu był wyższy (najbardziej w Ostrowitym).

Wody kontrolowanych jezior w dalszym ciągu wychładzały się, a spadek średniej temperatury wody wyniósł od 1,7°C (Jasień) do 2,3°C (Sławskie, Powidzkie i Komorze). Średnia temperatura wody kontrolowanych jezior wyniosła: 2,8°C (najwyższą 4,1°C określono dla Sławianowskiego, a najniższą 2,1°C dla Raduńskiego Górnego). Z kolei najwyższą dzienną temperaturę wody zmierzono w Sławianowskim (5,7°C; 1-2 I), a najniższą w Raduńskim Górnym (0,7°C; 22 I).

W skali kraju jeziora położone w centralnej i zachodniej Polsce, a także położone na Pomorzu były wyraźnie cieplejsze od mazurskich. W ostatnich latach najniższe temperatury wody w jeziorach notowano w styczniu lub w lutym. W tegorocznym styczniu we wszystkich jeziorach zanotowano spadki temperatury wody (i spadkową tendencję zmian temperatury).

W pierwszym miesiącu roku kalendarzowego tylko na Jeziorze Sławskim odnotowano występowanie trwałej pokrywy lodowej i to bardzo nikłej (22 I i 23 I, a grubości jej to odpowiednio 1 cm i 3 cm).

Tab. 5.2. Stan i temperatura wody jezior w styczniu 2025

Lp.	Jezioro	$\bar{H}_1$ (1981–2020)			$H_1$			Stan wody	$\Delta H$			$T_1$			$\Delta T$		
		NNW	SSW	WWW	NW	SW	WW		NW	SW	WW	NT	ST	WT	NT	ST	WT
		[cm]			[cm]				[cm]			[°C]			[°C]		
1	Sławskie	150	174	201	178	180	183	wysoki	-6	-10	-10	1,3	2,2	3,2	-2,1	-2,3	-2,1
2	Powidzkie	408	452	514	393	394	396	niski	3	2	3	2,4	3,2	4,4	-2,2	-2,3	-2,4
3	Komorze	125	134	156	139	144	147	wysoki	11	12	9	2,2	3,0	4,6	-2,6	-2,3	-1,5
4	Sławianowskie	164	201	241	202	209	215	wysoki	9	12	13	2,9	4,1	5,7	-2,5	-2,1	-1,1
5	Ostrowite *)	93	107	126	120	122	124	wysoki	4	4	4	1,8	2,9	4,4	-2,4	-2,0	-1,3
6	Morzycko	155	191	233	199	202	205	wysoki	2	3	5	2,9	3,8	5,4	-2,4	-1,8	-0,5
7	Rajgrodzkie	110	163	245	127	131	136	niski	-10	-6	-2	1,8	2,2	3,5	-1,7	-2,1	-2,1
8	Dejguny **)	152	177	210		172		średni					2,4				
9	Bachotek	210	275	339	270	274	277	średni	8	7	6	1,8	2,8	4,4	-2,4	-2,0	-1,4
10	Jasień	127	142	156	138	141	142	średni	3	4	3	1,6	2,8	4,4	-2,0	-1,7	-1,0
11	Raduńskie G.	485	501	528	492	493	496	średni	4	2	2	0,7	2,1	4,0	-2,6	-2,2	-1,1
12	Dadaj	104	143	208	148	149	151	średni	3	3	3	1,6	2,4	3,8	-1,7	-2,0	-1,7

\*) Ostrowite – wielolecie 2005 – 2020

\*\*) Dejguny – pomiary ekspedycyjne

gdzie:

$\bar{H}_m$  - stany charakterystyczne wody w danym miesiącu w wieloleciu 1981-2020

$H_m$  - stany charakterystyczne wody w danym miesiącu

$\Delta H$  - zmiany stanów charakterystycznych wody w stosunku do poprzedniego miesiąca



$T_m$  - temperatury charakterystyczne wody w danym miesiącu

$\Delta T$  - zmiany temperatur charakterystycznych wody w stosunku do poprzedniego miesiąca

NNW- najniższy stan w danym miesiącu w wieloleciu 1981-2020

SSW- średni stan w danym miesiącu w wieloleciu 1981-2020

WWW- najwyższy stan w danym miesiącu w wieloleciu 1981-2020

NW- najniższy stan w danym miesiącu

SW- średni stan w danym miesiącu

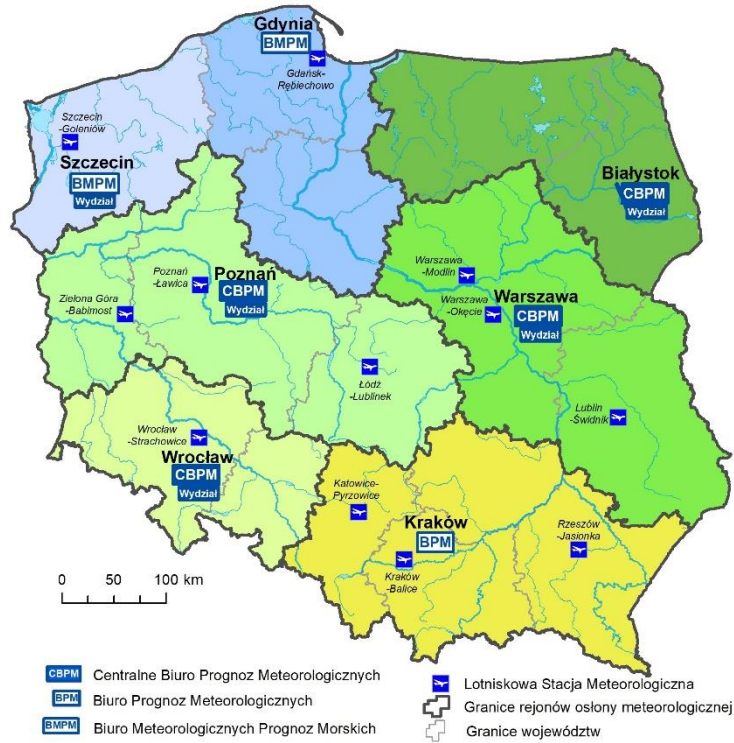
WW- najwyższy stan w danym miesiącu

NT - najniższa temperatura wody w danym miesiącu

ST - średnia temperatura wody w danym miesiącu

WT- najwyższa temperatura wody w danym miesiącu

### Rejony osłony meteorologicznej Polski



### Rejony osłony hydrologicznej Polski





***Rzypowszechnianie powyższych danych  
wyłącznie  
z podaniem IMGW-PIB jako źródła informacji***



**INSTYTUT METEOROLOGII I GOSPODARKI WODNEJ  
PAŃSTWOWY INSTYTUT BADAWCZY**

01-673 Warszawa, ul. Podleśna 61

Internet: <http://www.imgw.pl>

e-mail: [biuletyn@imgw.pl](mailto:biuletyn@imgw.pl)